

ОБЪЕДИНЕННЫЙ  
ИНСТИТУТ  
ЯДЕРНЫХ  
ИССЛЕДОВАНИЙ  
ДУБНА



A-355

P1 - 8463

3/III-75

801/2-75

С.А.Азимов, В.Г.Гришин, Т.Я.Иногамова,  
Ш.В.Иногамов, В.Б.Любимов, Х.Семерджиев,  
Д.Тувдендорж, Т.М.Усманов, А.А.Юлдашев,  
Б.С.Юлдашев

АССОЦИАТИВНЫЕ МНОЖЕСТВЕННОСТИ  
В  $\pi^-$ -С-ВЗАИМОДЕЙСТВИЯХ ПРИ РС = 40 ГЭВ  
С ИСПУСКАНИЕМ ПРОТОНОВ НАЗАД  
В ЛАБОРАТОРНОЙ СИСТЕМЕ КООРДИНАТ

**1974**

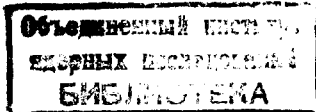
ЛАБОРАТОРИЯ ВЫСОКИХ ЭНЕРГИЙ

P1 - 8463

С.А.Азимов,\* В.Г.Гришин, Т.Я.Иногамова,  
Ш.В.Иногамов,\* В.Б.Любимов, Х.Семерджиев,  
Д.Тувдендорж, Т.М.Усманов,\* А.А.Юлдашев,\*  
Б.С.Юлдашев\*

АССОЦИАТИВНЫЕ МНОЖЕСТВЕННОСТИ  
В  $\pi^-$ -С-ВЗАИМОДЕЙСТВИЯХ ПРИ РС = 40 ГЭВ  
С ИСПУСКАНИЕМ ПРОТОНОВ НАЗАД  
В ЛАБОРАТОРНОЙ СИСТЕМЕ КООРДИНАТ

*Направлено в ЯФ*



---

\* Физико-технический институт АН УзССР, Ташкент.

## §1. Введение. Методика эксперимента

Анализ ассоциативных множественностей<sup>/1,2/</sup> в полупинклюзивных процессах представляет большой интерес при изучении корреляций между частицами, образованными во взаимодействии.

В настоящей работе анализируются ассоциативные множественности в реакции



при импульсе налетающих  $\pi^-$ -мезонов  $p = 40 \text{ ГэВ/с}$ . Реакции /1/ изучались на снимках, полученных с двухметровой пропановой пузырьковой камеры ЛВЭ ОИЯИ, облученной в пучке  $\pi^-$ -мезонов с импульсом  $p = 40,0 \pm 0,24 \text{ ГэВ/с}$  на серпуховском ускорителе. Камера находилась в магнитном поле со средней напряженностью 15 кГс. Дважды было просмотрено  $\approx 12000$  стереокадров. Эффективность двойного просмотра оказалась близкой к 100%. При просмотре, в соответствии со стандартными критериями для пропановых камер<sup>/3/</sup>, было найдено  $N_{\pi^- C} = 2100$   $\pi^-$ -взаимодействий\*. Из них в  $N(p) = 968$  событиях имелся по крайней мере один протон, испущенный назад в лабораторной системе координат/угол вылета протона в л.с. относительно первичного пучка  $\Theta > 90^\circ$ . Эти события были отобраны для измерений. Измерения проводились на полуавтоматах ПИК-<sup>1/4/</sup> и обсчитывались по геометрической программе “1-6”<sup>/5/</sup>.

\* Здесь, как и в дальнейшем, исключены взаимодействия на квазисвободных нуклонах /см. <sup>3/</sup> /.

Протоны в событиях идентифицировались по пробегам и ионизации. При этом примесью дейтонов и других тяжелых осколков пренебрегалось. Следует отметить, что в пропановых камерах идентификация протонов проводится достаточно точно в интервале импульсов  $150 \leq p \leq 700 \text{ МэВ/с}$ , в связи с чем все приводимые ниже результаты относятся к событиям типа /1/, в которых импульсы протонов находятся в указанном интервале импульсов. После обсчета измеренных событий для дальнейшего анализа было оставлено 681 событие с 823 протонами, у которых углы вылета относительно первичного пучка были больше  $90^\circ$ , а импульсы лежали в пределах от 150 до 700 МэВ/с.

Средняя множественность протонов, вылетающих назад в л.с., в событиях типа /1/ оказалась равной  $\langle n(p) \rangle = 1,24 \pm 0,04^*$ .

## §2. Экспериментальные результаты

В табл. I приводятся зависимости средних множественностей релятивистских заряженных частиц  $\langle n_s \rangle$  от числа протонов ( $n_p$ ) во всех  $\pi^-C$ -взаимодействиях ( $N_{\pi^-C}$ ) и в событиях с протонами, вылетающими назад ( $N(p)$ ). Видно, что в пределах экспериментальных ошибок ( $n_s$ ) практически не зависит от наличия в событии протона, летящего назад, равно как и от числа образованных во взаимодействии протонов. Аналогичный эффект имеет место и для средней множественности  $\gamma$ -квантов.

\* Здесь не учтены возможные потери протонов, вылетающих в глубь камеры. Анализ распределений по azimuthальным углам протонов показывает, что потери протонов составляют  $\leq 12\%$ .

Таблица 1  
Среднее число вторичных релятивистских треков ( $\langle n_s \rangle$ ) в зависимости от числа протонов ( $n_p$ ) в событии

$n_p$	$\langle n_s \rangle$	$\pi^{-1}2C$ для всех $\pi^-C$	$\pi^{-1}2C$ с протоном назад	$\pi^{-1}2C$ без $p$ назад
1.	7,2 $\pm$ 0,43	7,05 $\pm$ 0,65	7,33 $\pm$ 0,59	
2.	7,41 $\pm$ 0,44	7,45 $\pm$ 0,65	7,15 $\pm$ 0,68	
3.	7,23 $\pm$ 0,61	7,86 $\pm$ 0,91	6,89 $\pm$ 1,04	
$\geq 4$ .	8,11 $\pm$ 1,10	7,94 $\pm$ 1,12	11,0 $\pm$ 5,10	
$\Sigma$	7,35 $\pm$ 0,16	7,51 $\pm$ 0,38	7,21 $\pm$ 0,41	

На рис. 1 показана зависимость средней множественности протонов, вылетающих в переднюю полусферу\*, от различных кинематических переменных протона, испущенного назад в реакции /1/. Здесь  $p$  и  $p_{\perp}$  - полный и поперечный импульсы протона в /1/;  $M_x^2 = (q_{\pi} + q_C - q_p)^2$  - недостающая масса;  $t = (q_{\pi} - q_p)^2$  - квадрат четырехмерного передаваемого импульса от налетающего  $\pi^-$ -мезона к протону-назад;  $q_{\pi}$ ,  $q_C$  и  $q_p$  - 4-импульсы первичного  $\pi^-$ -мезона, ядра углерода и протона-назад. Как видно из рис. 1, средняя множественность протонов, испущенных по направлению первичной частицы в л.с., в реакции /1/ не зависит от характеристик протонов, эмиттированных назад.

Аналогичный эффект имеет место и для распределений протонов по множественности. Все события  $N(\vec{p})$  были разделены на две группы в зависимости от импульса протона, вылетающего назад. В первую группу были включены события /1/, в которых протоны-назад имели импульсы  $P_p \leq 300 \text{ МэВ/с}$ , во вторую - события, имеющие протоны с импульсами больше  $300 \text{ МэВ/с}$ /т.е. область импульсов, где возможная примесь от испарительных протонов пренебрежимо мала/. Распределения по множественности протонов,  $n_p$ , вылетающих в переднюю полусферу для обеих групп, представлены на рис. 2. Видно, что оба распределения совпадают. Средние множественности протонов, вылетающих вперед, в /1/ оказались равными.

$\langle n_p \text{ вперед} \rangle = 1,09 \pm 0,05$  для событий /1/ с  $P_p \leq 300 \text{ МэВ/с}$

и  
 $\langle n_p \text{ вперед} \rangle = 1,10 \pm 0,07$  для событий /1/ с  $P_p > 300 \text{ МэВ/с}$ .

Кривая на рис. 2 - результат аппроксимации экспериментальных данных распределением Пуассона

\* Данные для протонов-вперед приводятся по результатам просмотра.

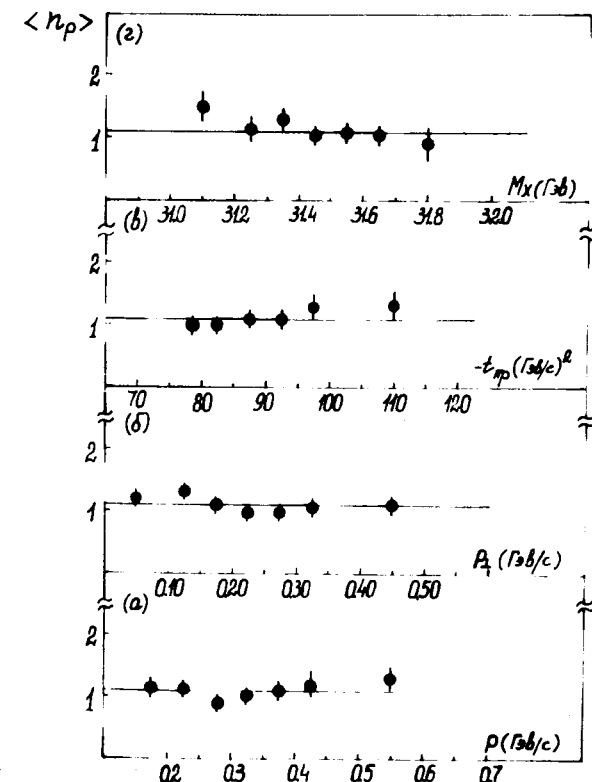


Рис. 1. Средние множественности протонов-вперед в зависимости от характеристик протонов-назад в реакции /1/: а/ импульса  $P$ ; б/ поперечного импульса; в/ передаваемого 4-импульса; г/ недостающей массы  $M$ .

$$P(n_p) = \frac{a^{n_p} e^{-a}}{n_p!}$$

/2/

$/a = 1,08 \pm 0,05; \chi^2 = 1,1$  при числе точек  $N = 5/$ .

Таким образом, сколь-нибудь существенные корреляции между протонами, испущенными вперед и назад

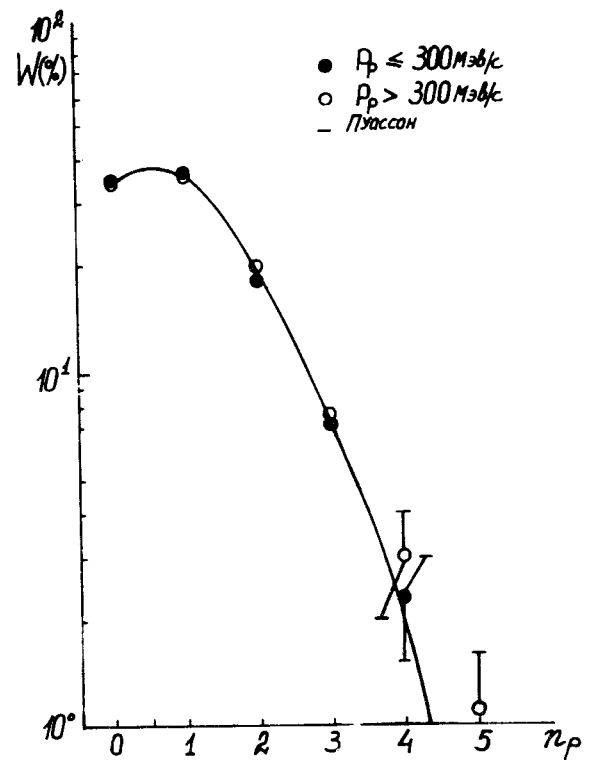


Рис. 2. Распределения по множественности протонов-вперед в реакции /1/ для событий с  $p_p \leq 300$  МэВ/с (●) и  $p_p > 300$  МэВ/с (○). Кривая - результат аппроксимации распределением Пуассона.

в реакции /1/, отсутствуют. Кроме того, распределения по множественности протонов хорошо описываются распределением Пуассона. Следовательно, приведенные экспериментальные данные не противоречат картине независимого рождения протонов в реакции /1/.

Представляет также интерес изучение корреляций между релятивистскими частицами, образованными в реакции /1/, и протонами, эмиттированными назад. На рис. 3 показана зависимость средней множественности релятивистских заряженных частиц  $\langle n_s \rangle$  от различ-

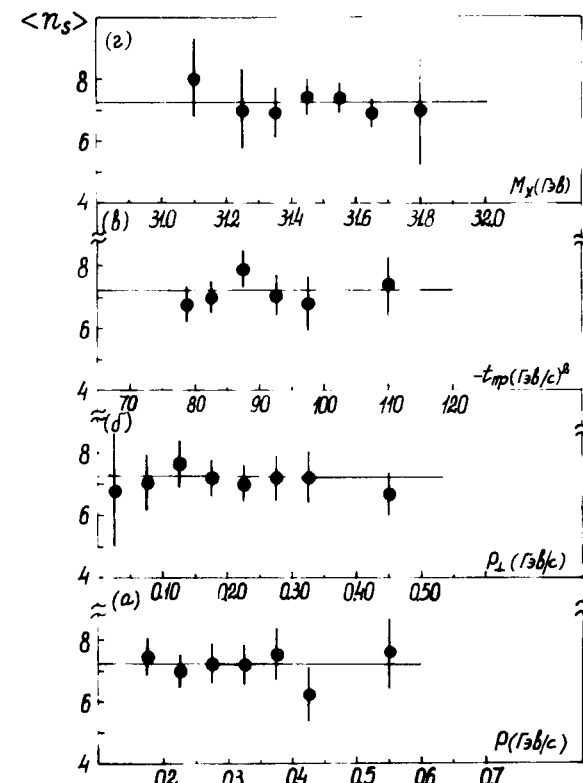


Рис. 3. Зависимость средней множественности релятивистских заряженных частиц  $\langle n_s \rangle$  от характеристик протонов-назад в реакции /1/.

ных кинематических переменных протонов-назад в реакции /1/. Как видно из рис. 3, в пределах экспериментальных ошибок не наблюдается заметных корреляций между  $\langle n_s \rangle$  и характеристиками протонов назад. Такая же ситуация имеет место и для распределений по множественности. На рис. 4 показаны распределения по  $n_s$  в событиях с  $p_p \leq 300$  МэВ/с и  $p_p > 300$  МэВ/с. Оба распределения совпадают. Сплошная кривая на рис. 4 -

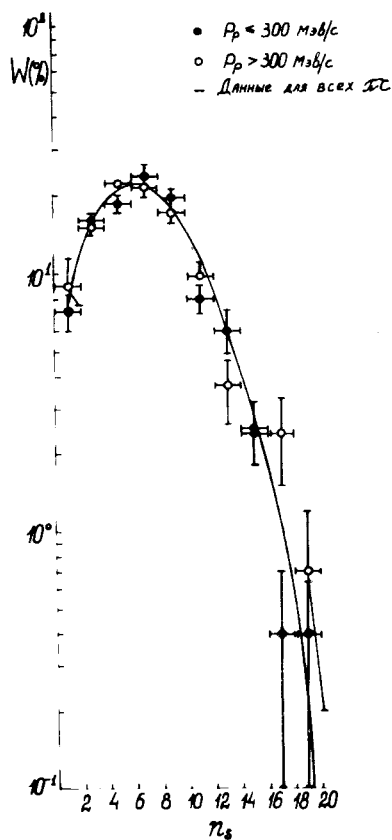


Рис. 4. Распределения по множественности релятивистских заряженных частиц  $n_s$  в реакции /1/ для событий с  $p_p \leq 300$  МэВ/с и  $p_p > 300$  МэВ/с. Кривая - распределение по  $n_s$  во всех  $\pi^-$ - $^{12}\text{C}$ -взаимодействиях.

распределение по  $n_s$  во всех  $\pi^-$ - $^{12}\text{C}$ -событиях, безотносительно к тому, имеются или отсутствуют протоны, испущенные назад.

Средние множественности релятивистских частиц  $\langle n_s \rangle$  оказались равными:

$\langle n_s \rangle = 7,25 \pm 0,32$  для событий /1/ с  $p_p \leq 300$  МэВ/с,  
 $\langle n_s \rangle = 7,19 \pm 0,41$  для событий /1/ с  $p_p > 300$  МэВ/с,  
 $\langle n_s \rangle = 7,35 \pm 0,16$  для всех  $\pi^-$ - $^{12}\text{C}$ -событий.

Следовательно, в пределах экспериментальных ошибок множественность релятивистских заряженных частиц не зависит от характеристик протонов, испущенных назад в реакции /1/.

Таким образом, полученные в настоящей работе данные по ассоциативным множественностям в реакции /1/ показывают отсутствие корреляций между протонами, вылетающими назад в л.с. с импульсами  $150 \leq p_p^- \leq 700$  МэВ/с, и другими частицами, образованными в реакции /1/.

#### Литература

1. Z.Koba, H.B.Nielsen, P.Olesen. Phys.Lett., 38B, 25 (1972).
2. H.Boggild et al. Preprint BI-HE-73-25 (1973).
3. Сотрудничество Будапешт - Бухарест - Варшава - Дубна - Краков - Серпухов - София - Ташкент - Тбилиси - Улан-Батор - Ханой. Препринт ОИЯИ, Р1-6277, Дубна, 1972.
4. С.П.Батраев, А.А.Юлдашев. Сб. "Взаимодействия частиц высокой энергии с ядрами и нуклонами". Изд. ФАН, Ташкент, 1972, стр. 192.
5. Н.Ф.Маркова, В.И.Мороз и др. Препринт ОИЯИ, Р1О-3768, Дубна, 1968.

Рукопись поступила в издательский отдел  
20 декабря 1974 года.